

Рис. 3.

участка фотоснимка составляет 1 с. Внешний вид оптической части процессора показан на рис. 3.

В целом оптико-электронный процессор является универсальным устройством для распознавания изображений по системе признаков, каждый из которых представляет собой усредненную по заранее заданной области интенсивность анализируемого изображения или его спектра. В последнем случае фильтр должен устанавливаться в частотной плоскости. Если система признаков выбрана, то процессор позволяет за короткое время оценить эффективность применения различных решающих правил. Особенно целесообразно использование процессора в тех случаях, когда области изображения объекта, по которым необходимо проводить усреднение, достаточно сложны.

*Поступила в редакцию 13 февраля 1975 г.*

УДК 621.378 : 681.332.5

И. С. ГИБИН, М. А. ГОФМАН, Ю. В. ЧУГУИ  
(Новосибирск)

### ОБОБЩЕННЫЙ СПЕКТРАЛЬНЫЙ АНАЛИЗ ИЗОБРАЖЕНИЙ С ИСПОЛЬЗОВАНИЕМ ГОЛОГРАФИЧЕСКОГО МЕТОДА ФОРМИРОВАНИЯ КОДИРУЮЩЕЙ ПЛАСТИНЫ

Известные когерентно-оптические методы обобщенного спектрального анализа изображений основаны на использовании кодирующей пластины (матрицы голограмм), содержащей  $N \times N$  изображений базисных функций разложения  $\varphi_{kn}(x, y)$  [1, 2]. В общем случае количество определяемых спектральных компонент равно числу выборок анализируемого изображения и в реальных ситуациях может достигать вели-

чины порядка  $500 \times 500$  (телевизионный стандарт) и более. Очевидно, что подготовка и голографическая регистрация такого большого количества изображений требуют значительных затрат труда и времени и, как следствие, приводит к необходимости повышения качества элементов оптической системы.

В работе предложен параллельный голографический метод формирования изображений базиса из  $N \times N$  двумерных функций разложения с помощью  $2N$  одномерных ортогональных составляющих этих функций. Рассмотрена структура оптической системы, применяемой как для формирования кодирующей пластины, так и для спектрального анализа тестовых изображений. Приведены результаты экспериментального исследования.

Описание метода. Известно, что двумерные функции большинства систем разложения могут быть представлены произведением двух ортогональных одномерных функций, т. е. в виде

$$\begin{aligned} \Phi_{kn}(x, y) &= \varphi_k(x) \varphi_n(y), \\ k &= 1, 2, \dots, N; n = 1, 2, \dots, N. \end{aligned} \quad (1)$$

Если функции  $\varphi_k(x)$  и  $\varphi_n(y)$  записать в виде изображений  $S_k(x) = \varphi_k^{1/2}(x) \operatorname{rect}\left(\frac{x}{a}\right) \operatorname{rect}\left(\frac{y}{b}\right)$  и  $S_n(y) = \varphi_n^{1/2}(y) \operatorname{rect}\left(\frac{x}{a}\right) \operatorname{rect}\left(\frac{y}{b}\right)$ ,  $|x| \leq a/2$ ,  $|y| \leq b/2$ , в вертикальную и горизонтальную линейки ячеек оптической памяти, а затем их одновременно воспроизвести с наложением в когерентном свете на фотоматериале, то в результате регистрации интерференционной картины получим голограмму, позволяющую восстановить изображения всех взаимных произведений  $S_k(x)S_n(y) = S_{kn}(x, y)$ .

В процессе анализа изображение проектируется на полученную голограмму, которую в дальнейшем будем называть кодирующей пластиной. Результат анализа получается в виде матрицы световых распределений, интенсивность каждого из которых пропорциональна значениям спектральных компонент.

Покажем, что сформированная таким образом кодирующая пластина при анализе формирует  $N \times N$  разделяющихся в пространстве значений спектральных компонент.

В качестве линейки оптической памяти может быть использована линзорастровая или голографическая память. Тогда в задних фокальных плоскостях линз растра или в плоскости голограмм при освещении памяти плоской когерентной световой волной получим линейку (с шагом  $\Delta\xi$  или  $\Delta\eta$ ) неперекрывающихся световых распределений, пропорциональных пространственно-частотным спектрам изображений исходных функций

$$L(u, v) = \sum_{k=1}^N \Phi_k \left[ u - \left( k - \frac{N+1}{2} \right) \Delta u, v \right], \quad (2)$$

где  $u = \frac{2\pi}{\lambda f} \xi$ ,  $v = \frac{2\pi}{\lambda f} \eta$  — пространственные частоты;  $\xi$  и  $\eta$  — линейные координаты частотной плоскости;  $\Phi_k(u, v)$  — Фурье-спектр изображения  $S_k(x)$ ;  $\Delta u = \frac{2\pi}{\lambda f} \Delta \xi$ .

Для двух линеек ячеек памяти (горизонтальных и вертикальной), размещенных в одной плоскости и на расстоянии  $2\delta$  друг от друга, в частотной плоскости имеем

$$\begin{aligned} L(u, v) &= \sum_{k=1}^N \Phi_k \left[ u - \left( k - \frac{N+1}{2} \right) \Delta u - \Delta, v \right] + \\ &+ \sum_{n=1}^N \Phi_n \left[ u + \Delta, v - \left( n - \frac{N+1}{2} \right) \Delta v \right], \end{aligned} \quad (3)$$

где  $\Delta = \frac{2\pi}{\lambda f} \delta$ ,  $\Delta v = \frac{2\pi}{\lambda f} \Delta \eta$ . Выполнив над (3) операцию преобразования Фурье, получим амплитудное распределение света

$$A(x, y) = \sum_{k=1}^N S_k(x) e^{-j \left[ \left( k - \frac{N+1}{2} \right) \Delta u + \Delta \right] x} + \\ + \sum_{n=1}^N S_n(y) e^{j \left[ x \Delta - y \left( n - \frac{N+1}{2} \right) \Delta v \right]}.$$

Регистрируя это распределение на фоточувствительном материале, получим голограмму, пропускание которой пропорционально функции

$$J(x, y) = A(x, y) A^*(x, y) = \sum_{k=1}^N \sum_{l=1}^N S_k(x) S_l(x) \times \\ \times e^{j(l-k)\Delta u x} + \sum_{n=1}^N \sum_{l=1}^N S_n(y) S_l(y) e^{j(l-n)\Delta v y} + \\ + \sum_{k=1}^N \sum_{n=1}^N S_k(x) S_n(y) e^{j \left\{ \left[ \left( \frac{N+1}{2} - k \right) \Delta u - 2\Delta \right] x + \left( n - \frac{N+1}{2} \right) \Delta v y \right\}} + \\ + \sum_{k=1}^N \sum_{n=1}^N S_k(x) S_n(y) e^{-j \left\{ \left[ \left( \frac{N+1}{2} - k \right) \Delta u - 2\Delta \right] x + \left( n - \frac{N+1}{2} \right) \Delta v y \right\}}. \quad (4)$$

Интерес представляют третьи или четвертые слагаемые выражения (4). Видно, что изображение каждой из функций  $S_{kn}(x, y) = S_k(x) S_n(y)$  записано на собственной несущей, определяемой коэффициентами  $k$  и  $n$ . Если расстояние между линейками выбрать исходя из условия  $2\Delta > 1,5 N\Delta u$ , то первые два слагаемых выражения (4) пространственно разделяются с третьим и четвертым.

Таким образом, в результате голографической регистрации формируется кодирующая пластина, представляющая собой суперпозицию голограмм сфокусированных изображений двумерных функций разложения.

При анализе на кодирующую пластину проектируется анализируемое изображение в когерентном свете с амплитудным распределением  $f^{1/2}(x, y)$ . Тогда за пластиной в одном из дифракционных порядков (для определенности, например, в +1 порядке) амплитудное распределение света будет

$$A(x, y) = f^{1/2}(x, y) \sum_{k=1}^N \sum_{n=1}^N S_{kn}(x, y) e^{j \left\{ \left[ \left( \frac{N+1}{2} - k \right) \Delta u - 2\Delta \right] x + \left( n - \frac{N+1}{2} \right) \Delta v y \right\}}.$$

После преобразования Фурье, выполняемого над этим распределением, получим

$$M(u, v) = \sum_{k=1}^N \sum_{n=1}^N \Phi_{kn} \left[ u - \left( k - \frac{N+1}{2} \right) \Delta u - 2\Delta, v + \left( n - \frac{N+1}{2} \right) \Delta v \right] \otimes \\ \otimes G(u, v), \quad (5)$$

где  $G(u, v)$  — Фурье-образ изображения  $f^{1/2}(x, y)$ , а знак  $\otimes$  — обозначает операцию свертки.

Для отдельного считывания световых потоков от каждого слагаемого путем детектирования и интегрирования световых распределений необходимо, чтобы отдельные слагаемые суммы (5) в пространстве практически не перекрывались и локализовались в отдельных областях выходной плоскости  $\Omega_{kn}$ . Это условие накладывает ограничение на выбор параметров  $\Delta u$  и  $\Delta v$ . Если  $\omega_{\max}$  — максимальная информативная

полоса пространственных частот изображения  $f^{1/2}(x, y)$ , а  $u_{\max}$  — максимальная полоса частот изображения функции разложения  $S_{kn}(x, y)$ , то можно считать, что эффективная ширина светового распределения  $\Phi_{kn} \otimes G$  равна сумме  $\omega_{\max} + u_{\max}$ . Поэтому параметры  $\Delta u$  и  $\Delta v$  должны быть выбраны так, чтобы выполнялось условие

$$\begin{aligned} \Delta u &> \omega_{\max} + u_{\max}; \\ \Delta v &> \omega_{\max} + u_{\max}. \end{aligned} \quad (6)$$

В результате выполнения условия (6) при детектировании и интегрировании в пределах областей  $\Omega_{kn}$  получим матрицу коэффициентов

$$\begin{aligned} \|C_{kn}\| = \sum_{k=1}^N \sum_{n=1}^N \iint_{\Omega_{kn}} \left\{ \Phi_{kn} \left[ u - \left( k - \frac{N+1}{2} \right) \Delta u - 2\Delta, v + \right. \right. \\ \left. \left. + \left( n - \frac{N+1}{2} \right) \Delta v \right] \otimes G(u, v) \right\}^2 dudv. \end{aligned} \quad (7)$$

Если размеры  $\Omega_{kn}$  выбрать такими, что основная часть энергии  $kn$ -го светового распределения заключена в этой области, то можно записать

$$\begin{aligned} c_{kn} = \iint_{\Omega_{kn}} \left\{ \Phi_{kn} \left[ u - \left( k - \frac{N+1}{2} \right) \Delta u - 2\Delta, v + \left( n - \frac{N+1}{2} \right) \Delta v \right] \otimes \right. \\ \left. \otimes G(u, v) \right\}^2 dudv = \int_{-\infty}^{\infty} \int_{-\infty}^{\infty} [S_{kn}(x, y) f^{1/2}(x, y)]^2 dx dy = \\ \int_{-a/2}^{a/2} \int_{-b/2}^{b/2} \Phi_{kn}(x, y) f(x, y) dx dy. \end{aligned} \quad (8)$$

Таким образом, в выходной плоскости получается матрица световых распределений, интенсивность которых пропорциональна значениям спектральных компонент.

**Оптическая система.** На рис. 1 приведена схема оптической системы, реализующей рассматриваемый метод анализа, где 1 — плоскость анализируемого изображения; 2, 4 — объективы, проектирующие изображение  $f(x, y)$  из плоскости 1 в плоскость кодирующей пластины 5; 3 — плоскость ячеек оптической памяти. Объективы 4 и 6 выполняют преобразование Фурье и проектируют изображение из плоскости 3 в выходную плоскость 7.

В процессе формирования кодирующей пластины в плоскость 3 помещаются две линейки ячеек линзорастровой или голографической памяти и при помощи объектива 4 в плоскости 5 получаем световое распределение, интенсивность которого соответствует выражению (4).

При анализе кодирующая пластина помещается в плоскость 5, а анализируемое изображение проектируется объективами 2, 4 из плоскости 1 в плоскость 5 на кодирующую пластину. Тогда, производя объективом 6 преобразование Фурье над световым распределением, в плоскости 7 получаем матрицу коэффициентов  $c_{kn}$ , соответствующих выра-

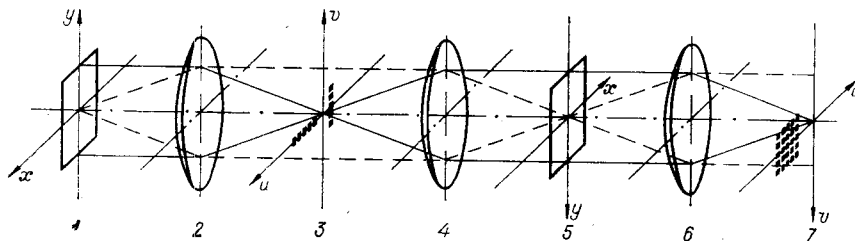


Рис. 1.

жению (8). Считывание значений коэффициентов производится матричным фотоприемником, помещаемым в плоскость 7.

**Определение знака компонент.** Трудности формирования знакопеременных функций в оптических системах обуславливают представление этих функций в виде

$$\begin{aligned}\varphi_k(x) &= \varphi_k^+(x) - \varphi_k^-(x); \\ \varphi_n(y) &= \varphi_n^+(y) - \varphi_n^-(y).\end{aligned}\quad (9)$$

С учетом (9) из соотношения (1) получим

$$\varphi_{kn}(x, y) = \varphi_k^+(x) \varphi_n^+(y) + \varphi_k^-(x) \varphi_n^-(y) - \varphi_k^+(x) \varphi_n^-(y) - \varphi_k^-(x) \varphi_n^+(y),$$

а

$$c_{kn} = \iint \varphi_{kn}(x, y) f(x, y) dx dy = c_{kn}^{++} + c_{kn}^{--} - c_{kn}^{+-} - c_{kn}^{-+}. \quad (10)$$

Из выражения (10) следует, что для получения значения коэффициентов  $c_{kn}$  необходимо алгебраически суммировать четыре составляющих. В ячейках памяти в этом случае записываются изображения положительных и отрицательных частей функций  $\varphi^+(x)$ ,  $\varphi^+(y)$  и  $\varphi^-(x)$ ,  $\varphi^-(y)$ , которые в процессе формирования кодирующей пластины одновременно проектируются в плоскость 5. При анализе в плоскости 7 получается весь набор составляющих  $c_{kn}^{++}$ ,  $c_{kn}^{--}$ ,  $c_{kn}^{+-}$ ,  $c_{kn}^{-+}$ , необходимый для вычисления коэффициентов  $c_{kn}$  в соответствии с (10). Порядок расположения ячеек памяти с изображениями положительных и отрицательных частей функций в плоскости 3 определяет геометрию расположения составляющих коэффициентов в плоскости 7.

На рис. 2 приведены примеры размещения ячеек памяти и соответствующих геометрических конфигураций составляющих коэффициентов. Чередование ячеек памяти с изображениями положительных частей функций разложения (см. верхнюю часть рис. 2) приводит к необходимости отдельного считывания составляющих коэффициентов и суммирования их на электронном уровне коммутаций элементов матричного фотоприемного устройства. На нижней части рис. 2 показано расположение ячеек памяти в плоскости 3 (см. рис. 1), при котором электронная схема коммутации в фотоприемном устройстве упрощается и уменьшается в два раза число фоточувствительных элементов. Это достигается за счет увеличения числа ячеек памяти и расположения их таким образом, что суммирование составляющих коэффициен-

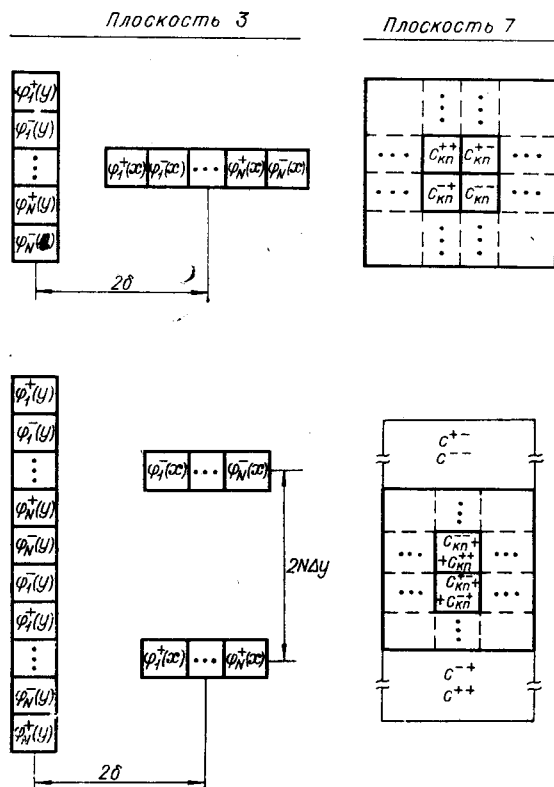


Рис. 2.

$c_{11}^+$	$c_{12}^+$	...	$c_{1n}^+$	...	$c_{1N}^+$
$c_{21}^+$	$c_{22}^+$		$\dots$		$c_{2N}^+$
$\vdots$					
$c_{k1}^+$	$\dots$		$c_{kn}^+$		
$\vdots$					
$c_{N1}^+$	$c_{N2}^+$	...			$c_{NN}^+$

Рис. 3.

тов, имеющих одинаковый знак, производится путем их оптического наложения в плоскости фотоприемной матрицы. Отметим, однако, что требования к относительному отверстию объектива 4, определяемому линейными размерами горизонтальной и вертикальной линеек памяти, в этом случае повышаются. Так, например, при  $N=8$ ,  $\Delta u=8\pi/3$ ,  $f=300$  мм,  $\lambda=0,63 \cdot 10^{-3}$  мм для рис. 2, а имеем  $D_{отн4}=1:6$ , а для рис. 2,б —  $D_{отн4}=1:3,5$ .

**Разложение по базису Уолша.** Перспективность спектральных преобразований по базису Уолша неоднократно обсуждалась в литературе [3—5]. Функции Уолша являются знакопеременными и принимают значения  $\pm 1$ , что обуславливает их представление в соответствии с (9). Однако представление функции Уолша возможно в виде

$$\varphi_k(x) = 2\varphi_k^+(x) - 1;$$

$$\varphi_n(y) = 2\varphi_n^+(y) - 1.$$

Тогда получаем, что

$$\varphi_{kn}(x, y) = 4\varphi_k^+(x)\varphi_n^+(y) - 2\varphi_k^+(x) - 2\varphi_n^+(y) + 1,$$

а

$$c_{kn} = 4c_{kn}^+ - 2c_{k1}^+ - 2c_{1n}^+ + c_{11}^+.$$

(11)

Обратимся теперь к диаграмме на рис. 3, соответствующей плоскости 7 (см. рис. 1). Видно, что в диаграмме присутствует полный набор коэффициентов, необходимых для получения значения любой спектральной компоненты. Процедура заключается в образовании прямоугольника из световых точек, соответствующих коэффициентам  $c_{kn}^+$ ,  $c_{k1}^+$ ,  $c_{1n}^+$ ,  $c_{11}^+$  и подстановке угловых значений в выражение (11). Значения  $c_{k1}$  и  $c_{1n}$  могут быть определены по формулам

$$c_{k1} = 2c_{k1}^+ - c_{11}^+;$$

$$c_{1n} = 2c_{1n}^+ - c_{11}^+.$$

(12)

**Результаты экспериментов.** Выше отмечалось, что в качестве линейки ячеек оптической памяти в плоскости 3 (см. рис. 1) может быть использована голографическая память. Применение такой памяти по сравнению с линзоростровой позволяет упростить оптическую систему. Вместе с тем возникает проблема равномерности распределения яркости в изображении, восстановленном из голограммы. Сказывается нелинейность регистрации [6], «косметический шум» [7, 8] и т. д. Для уменьшения динамического диапазона интенсивности регистрируемых на голограммах интерференционных картин и устранения «косметического шума» в экспериментах был применен рассеиватель, который помещался в плоскости транспарантов с изображениями, регистрируемыми в голограммах в процессе формирования линеек памяти. Применение рассеивателя приводит к тому, что в результате частотных ограничений в плоскости голограмм в восстановленном изображении появляется зернистая структура («спекл-шум») [8]. Нетрудно показать, что результат приведенных выше выкладок в этом случае справедлив при выполнении условия

$$\Delta x \gg l; \Delta y \gg l,$$

(13)

где  $l$  — характерный размер зерна «спекл-шума»,  $\Delta x$ ,  $\Delta y$  — линейные размеры элемента разрешения. Выполнение условия (13) приводит к усреднению «спекл-шума» на элементе разрешения. Размеры голо-

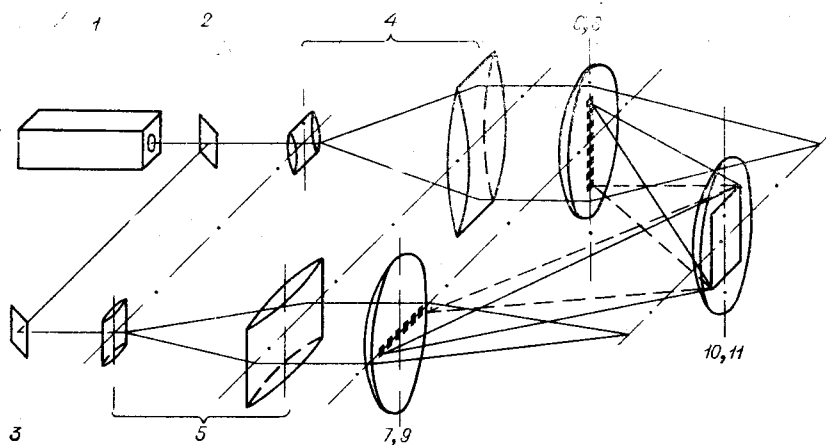


Рис. 4.

грамм  $u_r$  и  $v_r$  определяются при учете выражения (13), исходя из условия зависимости характерного размера зерна «спекл-шума» от размера голограммы [8]. При формировании линеек голографической памяти была использована традиционная схема безлинзовой Фурье-голографии, полезными свойствами которой являются возможность восстановления двух действительных изображений и нечувствительность положения восстановленного изображения к смещениям голограммы. Первое свойство позволяет в одной оптической системе получать и горизонтальную линейку голограмм, из которой изображения в процессе формирования кодирующей пластины необходимо восстанавливать в  $+1$  порядок дифракции, и вертикальную, из которой изображение необходимо восстанавливать в  $-1$  порядок дифракции. Второе свойство позволяет записывать линейку голограмм путем последовательных смещений фотопластинки и затем при освещении ее сходящейся световой волной получать все изображения совмещенными. Были записаны две линейки по 8 голограмм, содержащие положительные части одномерных соответственно по  $x$  и  $y$  функций Уолша. Размеры голограмм  $0,5 \times 0,5$  мм, шаг 1,5 мм.

На рис. 4 приведена схема оптической системы, в которой была получена кодирующая пластина, содержащая 64 двумерные функции Уолша. На рисунке 1 — лазер; 2 — светоделитель; 3 — зеркало; 4, 5 — одномерные коллиматоры, концентрирующие световую энергию на линейках голограмм 6 и 7; 8, 9 — объективы, расположенные в плоскости

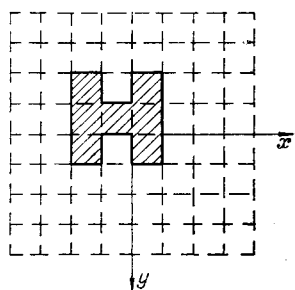


Рис. 5.

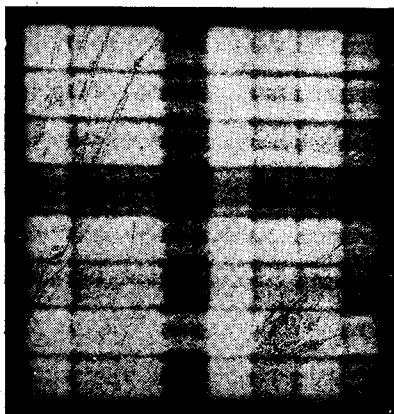


Рис. 6.

$c_{11}$	$c_{21}$	$c_{31}$	$c_{41}$	$c_{51}$	$c_{61}$	$c_{71}$	$c_{81}$
1	-0,43	0,43	-1	-0,143	-0,43	0,43	1
1	-0,483	0,43	-0,842	-0,092	-0,315	0,38	0,92

линеек голограмм и образующие сходящиеся световые волны; 10 — объектив с фокусным расстоянием, равным фокусному расстоянию объективов 8 и 9, расположенный в плоскости кодирующей пластины 11 и формирующий набор плоских волн.

Луч лазера 1 светоделителем 2 направляется в два канала. Коллиматоры 4, 5 расширяют луч и создают узкие световые фронты, которые освещают линейки голограмм. Объективами 8, 9 в их задней фокальной плоскости формируются действительные изображения. Совмещение изображений, восстановленных из голограмм одной линейки, происходит автоматически, а изображения, восстановленные из двух линеек, совмещаются перемещением канала, состоящего из элементов 3, 5, 7, 9, в плоскости, перпендикулярной оси системы.

Проведен анализ тесного двухградационного изображения (рис. 5) с использованием кодирующей пластины, содержащей 64 изображения положительных частей функций разложения. Изображение матрицы коэффициентов показано на рис. 6.

В процессе анализа проводилась нормировка коэффициентов. Необходимость в этом вызвана главным образом разбросом по интенсивности восстанавливаемых изображений функций разложения. Поэтому вначале вычислялось отношение измеренного значения компоненты  $c_{kn}^+$  ( $f$ ) при наличии анализируемого изображения к значению этой же спектральной компоненты  $c_{kn}^+$  (0), полученной при отсутствии изображения, т. е.  $\bar{c}_{kn}^+ = c_{kn}^+(f)/c_{kn}^+(0)$ , затем вычислялось отношение  $c_{kn}^+ = \bar{c}_{kn}^+ \bar{c}_{11}^+$ , где  $\bar{c}_{11}^+$  — нулевая спектральная компонента. При таком способе нормировки значения спектральных компонент будут нормированы на  $\bar{c}_{11}^+ = c_{11}^+$ , а выражения (11), (12) преобразуются к виду

$$c_{kn} = c_{kn}^+ - c_{k1}^+ - c_{1n}^+ + 1;$$

$$c_{k1} = c_{k1}^+ - 1;$$

$$c_{1n} = c_{1n}^+ - 1.$$

Результаты измерений и расчетов для первых шестнадцати коэффициентов приведены в таблице. В числителе указаны расчетные, а в знаменателе — измеренные значения коэффициентов.

Данные таблицы свидетельствуют о том, что погрешность определения спектральных компонент составляет величину порядка 5—7%.

К основным источникам погрешности следует отнести, прежде всего, недостаточное качество изображений, восстанавливаемых из голограмм, несовершенство оптических элементов и погрешность установок исходных изображений в оптической системе.

**Заключение.** Предложенный метод позволяет за один такт голографической регистрации сформировать базис разложения, состоящий из  $N \times N$ -функций, и тем самым существенно сократить время изготовления кодирующей пластины.

Экспериментальные исследования подтверждают возможность практической реализации метода.

Авторы считают своим долгом выразить благодарность Е. Ф. Пену за помощь при проведении экспериментов.



$c_{12}$	$c_{22}$	$c_{32}$	$c_{42}$	$c_{52}$	$c_{62}$	$c_{72}$	$c_{82}$
0,143	-0,143	0,143	-0,143	0,143	-0,143	0,143	0,143
0,2	-0,089	0,16	-0,15	0,132	-0,25	0,12	0,121

#### ЛИТЕРАТУРА

1. И. С. Гиббин, Е. С. Нежевенко, О. И. Потатуркин, П. Е. Твердохлеб. Когерентно-оптические устройства для обобщенного спектрального анализа изображений.— «Автоматрия», 1972, № 5.
2. Е. С. Нежевенко, О. И. Потатуркин, П. Е. Твердохлеб. Линейные оптические системы для выполнения интегральных преобразований общего вида.— «Автоматрия», 1972, № 6.
3. Хармут. Применение функций Уолша в теории связи.— «Зарубежная радиоэлектроника», 1971, № 8.
4. С. Бесветтер. Анализ и синтез сигналов с помощью функций Уолша.— «Зарубежная радиоэлектроника», 1972, № 5.
5. В. П. Логинов. Функции Уолша и области их применения.— «Зарубежная радиоэлектроника», 1973, № 4.
6. A. Kozma. Analysis of the Film Non-Linearities in Hologram Recording.— "Optica Acta", 1968, v. 15, № 6.
7. E. Leith, J. Upatnieks. Wave Front Reconstruction with Continuous Tone Objects.— "J. Opt. Soc. America", 1963, v. 53, p. 1377.
8. Р. Кольер, К. Беркхарт, Л. Лин. Оптическая голография. М., «Мир», 1973.

Поступила в редакцию 26 декабря 1974 г.

УДК 772.99 : 621.391.156

**Г. И. ВАСИЛЕНКО, А. Д. МАНУИЛЬСКИЙ, Е. С. НЕЖЕВЕНКО,**  
**А. И. ТРОЙНИКОВ**  
 (Москва — Новосибирск)

### ОПТИМАЛЬНОЕ ГОЛОГРАФИЧЕСКОЕ ВОССТАНОВЛЕНИЕ КАЧЕСТВА ИЗОБРАЖЕНИЙ

Задача апостериорного восстановления качества изображений относится к широкому классу задач редукции к идеальному прибору [1]. Возможность решения этой задачи на основе применения методов голографии продемонстрирована Дж. Строуком и его сотрудниками [2].

В методах Дж. Строука компенсация несовершенства некоторого прибора как линейной системы с передаточной функцией  $H(\vec{\omega})$ , достигается путем применения инверсного фильтра, имеющего передаточную функцию  $1/H(\vec{\omega})$ . Эта функция реализуется при помощи двух транспарантов-фильтров, один из которых представляет амплитудную часть функции и изготавливается голографическим способом, а другой — фазовую часть и получается голографическим способом. Такая фильтрация имеет ряд принципиальных недостатков, обусловленных тем, что в тех точках частотной плоскости, где  $H(\vec{\omega})=0$ , передаточная функция не определена, а неизбежное присутствие шума в восстановленном изображении приводит к тому, что решение интегрального уравнения, дающее передаточную функцию инверсного фильтра, оказывается неустойчивым также в окрестностях точек, в которых  $H(\vec{\omega})=0$ . Эти особенности инверсной фильтрации приводят к тому, что несмотря на преодо-